

Echtzeitsysteme

Ereignisgesteuerte Ablaufplanung periodischer Echtzeitsysteme

Peter Ulbrich

Lehrstuhl für Verteilte Systeme und Betriebssysteme
Friedrich-Alexander-Universität Erlangen-Nürnberg
<https://www4.cs.fau.de>

18. November 2015



Gliederung

- 1 Einplanung
 - Gebräuchliche Verfahren
 - Statische Prioritäten
 - Prioritätsabbildung
 - Dynamische Prioritäten
- 2 Optimalität
 - RM, DM & EDF
 - Ereignisgesteuerte Ablaufplanung
- 3 Planbarkeitsanalyse
 - CPU-Auslastung
 - Zeitbedarfsanalyse
 - Antwortzeitanalyse
 - Simulation
 - Prioritätsabbildung
- 4 Zusammenfassung



Fragestellungen

- Was sind die **Prioritäten** der ereignisorientierten Einplanung?
 - Welche Kriterien werden auf Prioritäten abgebildet?
 - **Statische** und **dynamische Verfahren** zur Bestimmung von Prioritäten
 - Wie geht man mit einer knappen Anzahl von Systemprioritäten um?
- Optimalität ereignisgesteuerter Ablaufplanung
 - Wie schlagen sich die vorgestellten Verfahren?
 - Wo liegen die Grenzen ereignisgesteuerter Ablaufplanung?
- Beurteilung der **Planbarkeit** ereignisgesteuerter Systeme?
 - Mit Hilfe der **maximalen, kumulativen CPU-Auslastung**
 - Fertigstellung von Aufträgen? ~ **Antwortzeitanalyse**
 - Wie wirken sich zu wenige Systemprioritäten aus?



Kriterien der Prioritätsvergabe

Statische Prioritäten

- RM** Rate Monotonic (dt. *Ratenmonoton*)
→ Je kürzer die **Periode**, desto höher die Priorität
- DM** Deadline Monotonic (dt. *Fristenmonoton*)
→ Je kürzer der **relative Termin**, desto höher die Priorität

Dynamische Prioritäten

- EDF** Earliest Deadline First (dt. *Frühester Termin zuerst*)
→ Je früher der **Termin**, desto höher die Priorität
- LRT** Latest Release-Time First (dt. *Spätester Auslösezeit zuerst*)
→ Je später die Auslösezeit, desto höher die Priorität
→ **Eigenstudium**
- LST** Least Slack-Time First (dt. *Kleinste Schlupfzeit zuerst*)
→ Je kürzer die Schlupfzeit, desto höher die Priorität
→ **Eigenstudium**



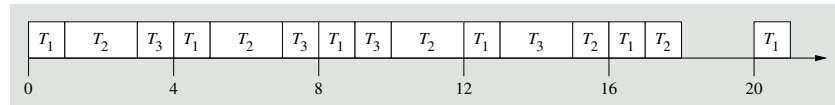
RM – Ratenmonotone Einplanung [10, S.118]

Einplanung gemäß Ausführungsrate

- Rate $1/p_i$ einer Aufgabe T_i ist die Inverse ihrer Periode p_i
- Bezogen auf die Auslöserate von Arbeitsaufträgen in T_i
 - Je kleiner die Periode, desto höher die Priorität P_i von T_i

- Beispiel:** $T_1 = (4, 1)$, $T_2 = (5, 2)$, $T_3 = (20, 5)$
- Perioden $p = \{4, 5, 20\}$, Ausführungszeiten $e = \{1, 2, 5\}$
- ⚠ Termin und Phase optional bei $D_i = p_i$ und $\phi_i = 0$

Ablaufplan:



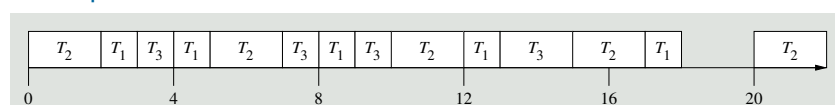
- ☞ Arbeitsaufträge werden in ihren Aufgabenperioden ausgeführt
→ RM lässt Prozessor bei ausführbaren Jobs nicht untätig



DM – Fristenmonotone Einplanung [10, S.118]

Einplanung gemäß Termin

- DM = RM wenn gilt: $D_i = p_i$
- Beispiel Folie IV-2/5: $T_1 = (4, 1)$, $T_2 = (5, 2)$, $T_3 = (20, 5)$
 - Entspricht $T_1 = (4, 1, 4)$, $T_2 = (5, 2, 5)$, $T_3 = (20, 5, 20)$
 - Relativer Termin und Periode jeder Aufgabe sind identisch
 - Beispiel:** $T_1 = (4, 1)$, $T_2 = (5, 2, 3)$, $T_3 = (20, 5)$
 - Perioden $p_i = \{4, 5, 20\}$, Ausführungszeiten $e_i = \{1, 2, 5\}$
 - Relative Termine $D_i = \{4, 3, 20\}$
 - Ablaufplan:**

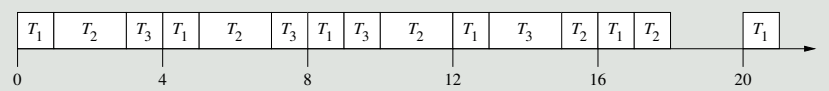


- ⚠ Bei beliebigen relativen Terminen arbeitet DM besser als RM
→ DM liefert zulässige Abläufe in Fällen in denen RM scheitert



RM – Ratenmonotone Einplanung (Forts.)

Beispiel: $T_1 = (4, 1)$, $T_2 = (5, 2)$, $T_3 = (20, 5)$



- T_1 hat die höchste Rate → höchste Priorität P_1^{hi}
- Alle Arbeitsaufträge $J_{i,j}$ von T_1 werden ausgelöst
- T_2 hat die zweithöchste Priorität P_2^{med} und folgt T_1
- Arbeitsaufträge von T_2 laufen im Hintergrund von T_1
- T_2 startet nach dem ersten Durchlauf von T_1
→ T_2 wird zum Zeitpunkt $t = 16$ von T_1 verdrängt
- T_3 hat die dritthöchste Priorität P_3^{lo} und folgt T_2
- Aufträge von T_3 laufen im Hintergrund von T_1 und T_2
→ T_3 läuft nur, wenn kein Job von T_1 und T_2 ausführbereit ist
- Untätigkeitszeit im Zeitintervall $[18, 19]$
- Keine ausführbaren Arbeitsaufträge



Mehrdeutigkeit von Prioritäten

Anwendungsebene vs. Systemebene

- ⚠ EZ-Betriebssysteme unterstützen typischerweise nur eine begrenzte Anzahl von Prioritätsebenen:
- 8 im IEEE 802.5 *token ring* [7]
 - 32 im alten QNX, ab Neutrino 256 [6]
 - 140 in Linux 2.5 (mit Ebenen 1–100 reserviert für Echtzeitprozesse)
 - 256 in VxWorks [14] und vielen anderen Echtzeitbetriebssystemen
- ☞ Wertebereich ist implementierungsabhängig: Bitfeld, char

Uneindeutige Prioritäten

- ⚠ Mehr Prioritätsebenen erforderlich, als die gegebene Systemplattform unterstützt
- Anzahl unterschiedlicher (eindeutiger) Task-/Jobprioritäten übersteigt die Anzahl unterschiedlicher Prioritäten im System
→ Task-/Jobprioritäten lassen sich nicht eindeutig abbilden
→ Uneindeutige Prioritäten (engl. *nondistinct priorities*)



Prinzip der Prioritätsabbildung

Prioritätsraster (engl. *priority grid*)

κ_n Anzahl der **logischen Prioritäten** (Tasks/Jobs)

- $1, 2, \dots, \kappa_n$ mit 1 als höchste und κ_n als niedrigste Priorität

κ_s Anzahl der **Systemprioritäten**

- $\pi_1, \pi_2, \dots, \pi_{\kappa_s}$ mit π_k ($1 \leq k \leq \kappa_s$) im Bereich $[1, \kappa_n]$
- Zusätzlich gilt: $\pi_j < \pi_k$ wenn $j < k$

■ Menge $\{\pi_1, \pi_2, \dots, \pi_{\kappa_s}\}$ ist **Prioritätsraster** Π , auf welches die logischen Prioritäten abgebildet werden:

- Logische Priorität 1 auf π_1
- Logische Prioritäten im Bereich $[\pi_{k-1}, \pi_k]$ auf π_k für $1 < k \leq \kappa_s$

☞ Jobs werden dann gemäß ihrer Systempriorität π_k abgearbeitet

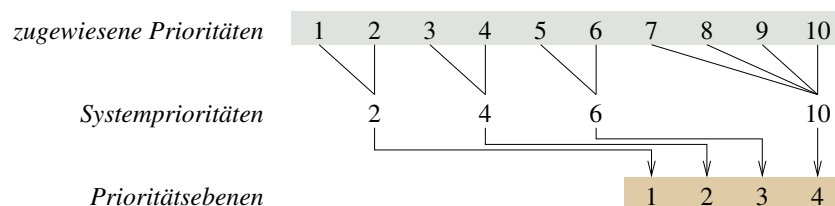
⚠ Abbildung kann **gleichmäßig** oder **ungleichmäßig** definiert sein



Abbildung durch gleichmäßige Verteilung (Forts.)

Querschneidender Belang von Anwendung und System

■ **Beispiel:** Aufgaben mit logischen Prioritäten $1, 2, \dots, 10$ auf ein System mit Prioritätsebenen $1, 2, 3, 4$ abbilden:



- $[1, 2] \mapsto \pi_1 = 2$
- $[3, 4] \mapsto \pi_2 = 4$
- $[5, 6] \mapsto \pi_3 = 6$
- $[7, 10] \mapsto \pi_4 = 10$

Problem Fairness:

Aufgaben hoher logischer Priorität werden ggf. gleich behandelt wie solche mit niedrigerer logischer Priorität.

Abbildung durch gleichmäßige Verteilung

(engl. *uniform mapping*)

☞ Prioritätsraster Π **uniform** auf logische Prioritäten legen:

- Sei Q definiert als Ganzzahl $\lfloor \kappa_n / \kappa_s \rfloor$, dann ist die Systempriorität $\pi_k = k \cdot Q$ für $k = 1, 2, \dots, \kappa_s - 1$ und $\pi_{\kappa_s} = \kappa_n$

→ Für einen Block von max. Q logischen Prioritäten:

- Die ersten Q Tasks/Jobs werden abgebildet auf $\pi_1 = Q$
- Die nächsten Q Tasks/Jobs werden abgebildet auf $\pi_2 = 2Q$
- Bis alle logischen Prioritäten **gerastert** worden sind



Aufgaben **verschiedener** logischer Prioritäten liegen auf **einer** Prioritätsebene

- Sie erhalten dieselbe physische Systempriorität
- Aufträge dieser Aufgaben sind einer **linearen Abbildung** unterworfen
- Wichtung erhalten sie durch ihre Position in der linearen Ordnung



Abbildung durch ungleichmäßige Verteilung

(engl. *non-uniform mapping*)

☞ Prioritätsraster Π **ungleichmäßig** auf logischer Prioritäten legen:

- Methode des **constant ratio mapping** [8]
- Ziel: Verhältnis $(\pi_{i-1} + 1) / \pi_i$ für $i = 2, 3, \dots, \kappa_s$ bleibt gleich
- Hohen logischen Prioritäten werden mehr Prioritätsebenen reserviert
- Bessere Feinabstufung höher priorisierter Aufgaben

■ **Beispiel** (vgl. IV-2/11): $\kappa_n = 10, \kappa_s = 4$

- | Log. Prio | System Prio | Priority Level |
|-----------|--------------|----------------|
| [1, 1] | $\pi_1 = 1$ | 1:1 → Ebene 1 |
| [2, 3] | $\pi_2 = 3$ | 2:1 → Ebene 2 |
| [4, 6] | $\pi_3 = 6$ | 3:1 → Ebene 3 |
| [7, 10] | $\pi_4 = 10$ | 4:1 → Ebene 4 |
- $[1, 1] \mapsto \pi_1 = 1$
 - $[2, 3] \mapsto \pi_2 = 3$
 - $(\pi_1 + 1) / \pi_2 = 2/3$
 - $[4, 6] \mapsto \pi_3 = 6$
 - $(\pi_2 + 1) / \pi_3 = 2/3$
 - $[7, 10] \mapsto \pi_4 = 10$
 - $(\pi_3 + 1) / \pi_4 \approx 2/3$



EDF – Frühester Termin zuerst

Einplanung gemäß absolutem Termin

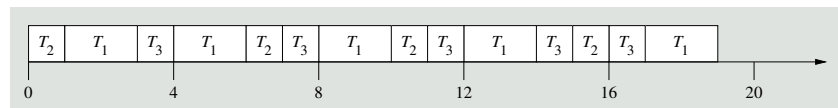
Ordnet Arbeitsaufträge nach ihrem **absoluten Termin d**

- Je näher der absolute Termin, umso höher die Priorität
- Verschiedene Aufträge derselben Aufgabe mit unterschiedlicher Priorität

■ **Beispiel:** $T_1 = (4, 2)$, $T_2 = (5, 1, 3)$, $T_3 = (20, 5)$

- Perioden $p_i = \{4, 5, 20\}$, Ausführungszeiten $e_i = \{2, 1, 5\}$
- Relative Termine $D_i = \{4, 3, 20\}$

■ **Ablaufplan:**



Arbeitsaufträge werden möglichst auslösezeitnah gestartet

- Lässt den Prozessor bei ausführbaren Jobs nicht untätig



LRT — Latest Release-Time First

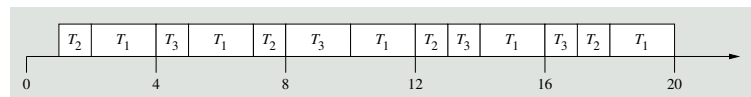
EDF umgekehrt \sim Arbeitsaufträge werden „rückwärts“ eingeplant

- Auslösezeiten sind Termine bzw. Termine sind Auslösezeiten

Aufgaben $T_1 = (4, 2)$, $T_2 = (5, 1, 3)$, $T_3 = (20, 5)$

- Perioden $p_i = \{4, 5, 20\}$
- Ausführungszeiten $e_i = \{2, 1, 5\}$
- relative Termine $D_i = \{4, 3, 20\}$

Ablaufplan



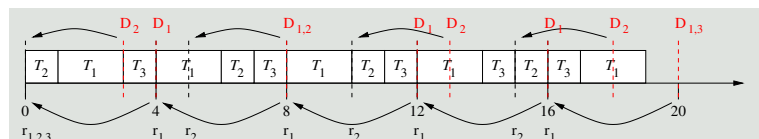
■ Arbeitsaufträge werden möglichst terminnah erfüllt

- lässt den Prozessor ggf. untätig trotz ausführbaren Jobs
 - schiebt Jobs mit harten Echtzeitbedingungen nach hinten
 - schafft vorne Spiel für Jobs mit weichen/festen Echtzeitbedingungen



EDF – Frühester Termin zuerst (Forts.)

Beispiel: $T_1 = (4, 2)$, $T_2 = (5, 1, 3)$, $T_3 = (20, 5)$



$T_1 = (4, 2)$

t_0 Auslösung, $D_1 = 4$

t_1 Start – t_3 Ende

t_4 Auslösung, $D_1 = 8$, Start

t_6 Ende

t_8 Auslösung, $D_1 = 12$, Start

t_{10} Ende

t_{12} Auslösung, $D_1 = 16$, Start

t_{14} Ende

t_{16} Auslösung, $D_1 = 20$

t_{17} Start – t_{19} Ende

$T_2 = (5, 1, 3)$

t_0 Auslösung, $D_2 = 3$, Start

t_1 Ende

t_5 Auslösung, $D_2 = 8$

t_6 Start – t_7 Ende

t_{10} Auslösung, $D_2 = 13$, Start

t_{11} Ende

t_{15} Auslösung, $D_2 = 18$, Start

t_{16} Ende

t_{17} Start – t_{19} Ende

$T_3 = (20, 5)$

t_0 Auslösung, $D_3 = 20$

t_3 Start – t_4 Verdrängung

t_7 Fortsetzung

t_8 Verdrängung

t_{11} Fortsetzung

t_{12} Verdrängung

t_{14} Fortsetzung

t_{15} Verdrängung

t_{16} Fortsetzung

t_{17} Ende



LST — Least Slack-Time First

auch: *Minimum Laxity First, MLF*

Schlupfzeit zum Zeitpunkt t

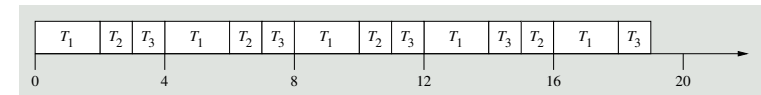
$$\text{slack}(J_i, t) = r_i + D_i - t - \text{maturity}(J_i, t)$$

$$\text{maturity}(J_i, t) = e_i - \text{elapsed time}(J_i, t)$$

Aufgaben $T_1 = (4, 2)$, $T_2 = (5, 1, 3)$, $T_3 = (20, 5)$

- Perioden $p_i = \{4, 5, 20\}$
- Ausführungszeiten $e_i = \{2, 1, 5\}$
- relative Termine $D_i = \{4, 3, 20\}$

Ablaufplan

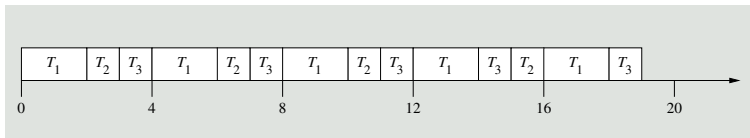


- benötigt Ausführungszeiten und Termine der Arbeitsaufträge
- Arbeitsaufträge werden möglichst auslösezeitnah gestartet
- lässt den Prozessor nicht untätig, wenn ausführbare Jobs anstehen



LST — Least Slack-Time First (Forts.)

Beispiel: $T_1 = (4, 2)$, $T_2 = (5, 1, 3)$, $T_3 = (20, 16, 16)$



	$J_{1,x}$			$J_{2,x}$			$J_{3,x}$		
	Job	Slack	maturity	Job	slack	maturity	Job	slack	maturity
t_0	$J_{1,1}$	2	0	$J_{2,1}$	2	0		15	0
t_4	$J_{1,2}$	2	0		-	-		12	1
t_5	$J_{1,3}$	1	1	$J_{2,2}$	2	0		11	1
t_8	$J_{1,4}$	2	0		-	-		9	2
t_{10}	-	-	-	$J_{2,3}$	2	0	$J_{3,1}$	7	2
t_{12}	$J_{1,5}$	2	0		-	-		6	3
t_{15}	-	-	-	$J_{2,4}$	2	0		4	4
t_{16}	$J_{1,6}$	2	0		-	-		3	4
t_{18}	-	-	-		-	-		1	4

Optimalität des RM-Algorithmus

Rahmenbedingungen

Der RM-Algorithmus ist **optimal** für Systeme unter den Bedingungen:

- Voraussetzungen **A1 - A7** sind erfüllt (siehe Folie IV-1/9)
- Aufgaben sind in **Phase** (engl. *synchron*) (d.h. $\phi_i = 0$)



Beweisidee (Baruah [1])

- Gegeben sei ein System mit den Aufgaben $\{T_1, T_2, T_3, \dots, T_n\}$
- Prioritäten $T_1 \succ T_2 \succ \dots \succ T_n$ (nicht RM-konform)
- Erzeuge einen zulässigen Ablaufplan
- Prioritäten können hinsichtlich RM umgeformt werden¹ ohne die Zulässigkeit des Ablaufplans zu zerstören

¹Die Prioritäten zweier Aufgaben T_1 und T_2 , die das RM-Schema verletzen (für die also $T_1 \succ T_2$ gilt, obwohl $p_1 > p_2$), lassen sich tauschen ohne dabei die Zulässigkeit des Systems zu zerstören.

Gliederung

1 Einplanung

- Gebräuchliche Verfahren
- Statische Prioritäten
- Prioritätsabbildung
- Dynamische Prioritäten

2 Optimalität

- RM, DM & EDF
- Ereignisgesteuerte Ablaufplanung

3 Planbarkeitsanalyse

- CPU-Auslastung
- Zeitbedarfsanalyse
- Antwortzeitanalyse
- Simulation
- Prioritätsabbildung

4 Zusammenfassung



Nichtoptimalität des RM-Algorithmus

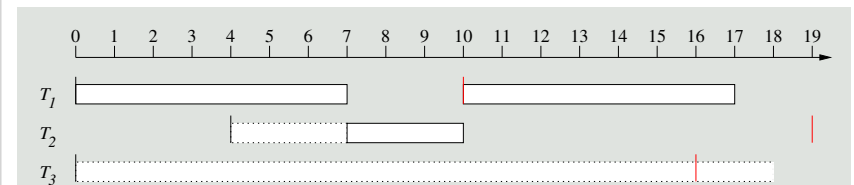
Rahmenbedingungen

Der RM-Algorithmus ist nicht optimal unter den Bedingungen:

- Voraussetzungen **A1 - A7** sind erfüllt (siehe Folie IV-1/9)
- Aufgaben sind **phasenversetzt** (engl. *asynchron*) (d.h. $\exists \phi_i > 0$)

Beweis (Baruah [1])

- Betrachte $T_1 = (10, 7, 10, 0)$, $T_2 = (15, 3, 15, 4)$, $T_3 = (16, 1, 16, 0)$
- RM: $T_1 \succ T_2 \succ T_3$



- T_3 verpasst bei t_{16} seinen Termin
- $T_1 \succ T_3 \succ T_2$ würde funktionieren



Optimalität des DM-Algorithmus

Rahmenbedingungen

Der DM-Algorithmus ist optimal für System, deren Aufgaben

- synchron sind,
- die Voraussetzungen A1, A2, sowie A4 - A7 einhalten und
- für deren Termine $D_i \leq p_i$ gilt.

Beweisidee (Baruah [1])

- Analog zum RM-Algorithmus



Optimalität des EDF-Algorithmus

Rahmenbedingungen

Der EDF-Algorithmus ist optimal unter den Bedingungen:

- Aufgaben haben beliebige Auslösezeiten
 - Sporadisch/periodisch
 - Synchron/asynchron
- Aufgaben besitzen beliebige Termine
 - Länger oder kürzer als die entsprechende Periode
- Voraussetzungen A2 und A4 - A7 sind erfüllt (siehe Folie IV-1/9)

Beweis (Liu [10, S.67]):

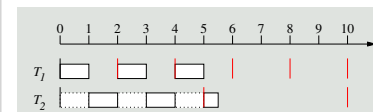
- Jeder zulässige Ablaufplan für solche Systeme lässt sich in einen EDF-Ablaufplan umformen



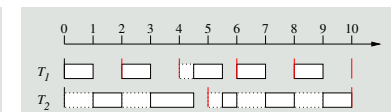
Nichtoptimalität statischer Prioritäten

☞ Beispiel: Betrachte $T_1 = (2, 1)$ und $T_2 = (5, 2.5)$

→ Sei $T_1 > T_2$ (RM-konform)



t_5 T_2 verpasst
Termin



t_4 $T_2 > T_1$
 t_{10} Hyperperiode

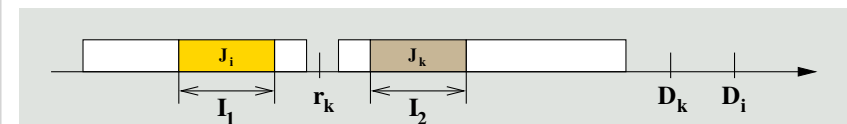
- Vor dem Zeitpunkt t_4 müsste gelten $T_1 > T_2$
- Zum Zeitpunkt t_4 müsste gelten $T_2 > T_1$



⚠ Widerspruch zur statischen Vergabe von Prioritäten



EDF: Ablaufplanherleitung durch Umformung



☞ Beispiel einer Umformung eines Ablaufplans

- Betrachte alle Paare von Arbeitsaufträgen J_i und J_k
- Arbeitsauftrag J_i wird im Intervall I_1 , J_k im Intervall I_2 eingeplant
- Der Termin von J_k sei vor dem Termin von J_i : $D_k < D_i$
- Das Intervall I_1 liegt komplett vor I_2 : $I_1 < I_2$

Fall 1: $r_k > I_1$

- J_k kann nicht in I_1 eingeplant werden
- ☞ Der Ablaufplan hat bereits EDF-Form

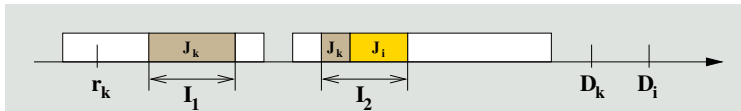


EDF: Ablaufplanherleitung durch Umformung (Forts.)

Fall 2: $r_k < l_1$ ohne Beschränkung der Allgemeinheit

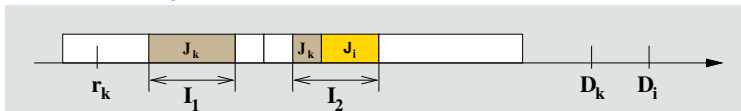
1 tausche J_i und J_k

Fall 2a: $d(l_1) < d(l_2)$ J_k passend stückeln (Verdrängung!)



Fall 2b: $d(l_1) \geq d(l_2)$ trivial

2 verbliebene Ruheintervalle durch Verschiebung von Arbeitsaufträgen auffüllen



Gliederung

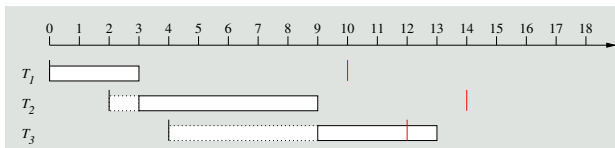
- 1 Einplanung
 - Gebräuchliche Verfahren
 - Statische Prioritäten
 - Prioritätsabbildung
 - Dynamische Prioritäten
- 2 Optimalität
 - RM, DM & EDF
 - Ereignisgesteuerte Ablaufplanung
- 3 Planbarkeitsanalyse
 - CPU-Auslastung
 - Zeitbedarfsanalyse
 - Antwortzeitanalyse
 - Simulation
 - Prioritätsabbildung
- 4 Zusammenfassung



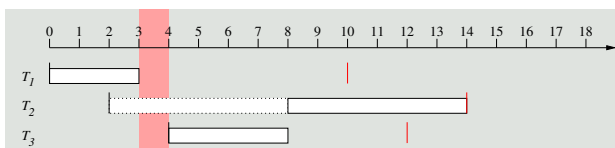
Nichtoptimalität ereignisgesteuerter Ablaufplanung

Beliebige (in diesem Fall nicht-verdrängbare) Aufgaben

■ Beispiel: $T_1 = (10, 3, 10, 0)$, $T_2 = (14, 6, 12, 2)$, $T_3 = (12, 4, 8, 4)$



⚠ EDF versagt bei diesem System



Obwohl ein zulässiger Ablaufplan existiert

→ Dieser lässt allerdings den Prozessor kurz untätig

⚠ Vorranggesteuerte Algorithmen versagen hier generell!



Aufgabenstellung

■ Gegeben sei eine Menge periodischer Aufgaben $T_i = (p_i, e_i, D_i, \phi_i)$ mit

p_i der Periode

e_i der maximalen Ausführungszeit

D_i dem relativen Termin

ϕ_i der Phase

der jeweiligen Aufgabe.

Fragestellung:

Ist diese Menge von Aufgaben zulässig?



Planbarkeitsanalyse

Verschiedene Analysemethoden stehen zur Auswahl

- CPU-Auslastung (engl. *loading factor*)
 - Zu welchem Prozentsatz wird der Prozessor **maximal** beansprucht?
→ Bevorzugte Methode für **dynamische Prioritäten**
- Zeitbedarfsanalyse (engl. *processor demand*) ~ Eigenstudium
 - Wieviel Rechenzeit wird innerhalb eines Zeitintervalls benötigt?
→ Neuere Methode für **dynamische Prioritäten**
- Antwortzeitanalyse (engl. *response time analysis*)
 - Wie lange benötigt eine Aufgabe **maximal** bis zur Fertigstellung?
→ Präzise Methode für **statische Prioritäten**
- Simulation (engl. *simulation*) ~ Eigenstudium
 - Wird in einem bestimmten Intervall eine Deadline verfehlt?
→ Bevorzugte Methode für **statische Prioritäten**



Rechenzeitbedarf (engl. *processor demand*)

- Rechenzeitbedarf einer Aufgabenmenge T im Zeitintervall $[t_1, t_2]$:

Bestimmung des Rechenzeitbedarfs

$$h_{[t_1, t_2]} = \sum_{t_1 \leq r_k, D_k \leq t_2} e_k$$

- Maximale Ausführungszeit aller Arbeitsaufträge, deren
 - Auslösezeitpunkt und
 - absoluter Termininnerhalb dieses Intervalls liegt.



CPU-Auslastung (engl. *loading factor*)

Bestimmung der CPU-Auslastung

Die CPU-Auslastung $u_{[t_1, t_2]}$ einer Menge von Arbeitsaufträgen während eines Intervalls $[t_1, t_2]$, ist der Anteil des **Rechenzeitbedarfs** $h_{[t_1, t_2]}$, der nötig ist, um diese Arbeitsaufträge auszuführen:

$$u_{[t_1, t_2]} = \frac{h_{[t_1, t_2]}}{t_2 - t_1}$$

- Für die **Zulässigkeit** einer Menge von Aufgaben T ist die **absolute CPU-Auslastung** (engl. *absolute loading factor*) entscheidend
→ Maximale CPU-Auslastung über alle Intervalle $[t_1, t_2]$

Maximale CPU-Auslastung

$$U = \max_{0 \leq t_1 < t_2} u_{[t_1, t_2]}$$



Zulässigkeitstest für EDF

Zulässigkeitstest von Liu und Layland [9]

Für jede Menge von n synchronen, periodischen Aufgaben, die den Kriterien **A1 - A7** (siehe IV-1/9) entsprechen, findet der EDF Algorithmus einen zulässigen Ablaufplan, **gdw** für die CPU-Auslastung gilt:

$$U = \sum_{i=1}^n u_i = \sum_{i=1}^n \frac{e_i}{p_i} \leq 1$$

- Dies gilt auch für asynchrone Aufgaben (entkräftet **A2**) [5]
 - EDF-Algorithmus ist **optimal** [13] unter folgenden Bedingungen:
 - Aufgaben wie oben
 - Synchron oder asynchron
 - Kriterium: $U \leq 1$
- Analoge Tests existieren auch für RMA und DMA [10, S. 146]



- ☞ Systeme, die den Bedingungen **A1 - A7** genügen, sind mit **polynomiellem Aufwand** analysierbar.
- ⚠ Starke Konsequenzen bei Lockerung dieser Einschränkungen:
 - Verzicht auf **A3** \leadsto **stark NP-hart** (Baruah [2])
 - Termine sind **kürzer** als die Perioden der Aufgaben.
 - Verzicht auf **A4** \leadsto **stark NP-hart** (Richard [12])
 - Aufgaben legen sich **schlafen** (engl. *self-suspension*).
 - Verzicht auf **A5** \leadsto **stark NP-hart** (Mok [11])
 - Der **gegenseitige Ausschluss** wird durch Semaphore gesichert.
 - Verzicht auf **A7** \leadsto **stark NP-hart** (Cai [4])
 - Harmonische, periodische Aufgaben sind **nicht verdrängbar**.
- ⚠ Dies hat auch **Auswirkungen auf die Zulässigkeitstests!**

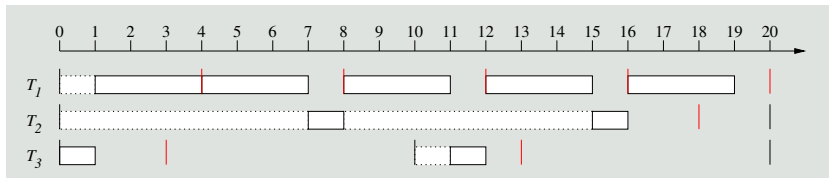


Dieser Test ist pessimistisch ...

- **Beispiel:** $T_1 = (4, 3, 4, 0)$, $T_2 = (20, 2, 18, 0)$, $T_3 = (10, 1, 3, 0)$
- $\sum_i \frac{e_i}{\min\{D_i, p_i\}} = \frac{3}{4} + \frac{2}{18} + \frac{1}{3} = \frac{43}{36} > 1$

⚠ System ist laut des Tests (siehe Folie IV-2/34) **nicht zulässig!**

☞ EDF findet jedoch einen zulässigen Ablaufplan:



- $D_i \geq p_i$: Periodische Aufgaben mit großen Terminen
 - Kriterien von Layland/Liu und Coffman gelten nach wie vor [3]
 - Diese Kriterien sind **notwendig** und **hinreichend**
- $D_i < p_i$: Aperiodische Aufgaben sind möglich
 - **Hybride** Menge: periodische und aperiodische Aufgaben
 - Diese Kriterium ist **nur hinreichend**!

Rahmenbedingungen nach Baruah [3]

Für eine hybride Menge von n Aufgaben T , findet der EDF-Algorithmus einen zulässigen Ablaufplan, wenn gilt:

$$U = \sum_{i=1}^n \frac{e_i}{\min\{D_i, p_i\}} \leq 1$$



Maximierung des Rechenzeitbedarfs

- hybrides System \leadsto entsprechendes synchrones, periodisches System
 - alle sporadischen Aufgaben
 - haben Phase $\phi_i = 0$
 - treten mit ihrer maximalen Frequenz auf
- der Rechenzeitbedarf solcher Systeme ist im Intervall $[0, t[$ maximal
 - man kann zeigen: $\forall t_1, t_2 : h_{[t_1, t_2[} \leq h_{[0, t_2 - t_1[}$
- der Rechenzeitbedarf im Intervall $[0, t[$ ist:

$$h(t) = \sum_{D_i \leq t} \left(1 + \left\lfloor \frac{t - D_i}{p_i} \right\rfloor\right) e_i$$

- alle Arbeitsaufträge, die vor t beendet sein müssen
- multipliziert mit der maximalen Anzahl ihrer Aktivierungen



Zulässigkeitstest

Der EDF-Algorithmus, erzeugt für jede hybride Menge von Aufgaben einen zulässigen Ablaufplan, **gdw**:

$$\forall t : h(t) \leq t$$

- entspricht direkt dem Satz von Spuri (S. Folie IV-2/32)
- ist als Kriterium aber so nicht brauchbar
 - schließlich gibt es unendlich viele Intervalle $[0, t[$
 - alle zu überprüfen ist einfach unmöglich

Einschränkung der zu überprüfenden Intervalle



Antwortzeitanalyse

- **Antwortzeit** ω_i
 - Zeitdauer zwischen Auslösezeit und Terminationszeitpunkt (siehe III-2/26)
- **Idee:** Antwortzeitanalyse
 - Terminationszeitpunkt vor dem **absoluten Termin** d_i
 - Antwortzeit ω_i kürzer als der **relative Termin** D_i
 - Für jeden Auftrag $J_{i,j}$ in der Aufgabe: $T_i : \omega_{i,j} \leq D_{i,j}$
- **Voraussetzungen**
 - Bedingungen **A1 - A7** müssen eingehalten werden
 - Konzept ist jedoch erweiterbar

Probleme

- Wie berechnet man die Antwortzeit?
- Wann wird die maximale Antwortzeit erreicht?



Tätigkeitsintervalle

Liu und Layland [9]

Kann der EDF-Algorithmus für eine Menge periodischer Aufgaben keinen zulässigen Ablaufplan finden, so wird ein Termin im ersten Tätigkeitsintervall verpasst.

- innerhalb eines Tätigkeitsintervall ist der Prozessor nie untätig
 - eine Phase kontinuierlicher Prozessorauslastung
- diese Eigenschaft wurde später auch gezeigt für
 - Mengen synchroner, periodischer Aufgaben mit $D_i \leq p_i$ und
 - generische Mengen synchroner, periodischer Aufgaben
- sei L nun die Länge des ersten Tätigkeitsintervalls
 - die maximale Länge des zu prüfenden Intervalls ist nun beschränkt
- $h(t) \leq t$ muss nicht für alle Zeitpunkte in $[0, t[$ geprüft werden
 - $\{e_1, e_2, \dots\} = mp_i + D_i; i = 1 \dots n, m = 0, 1, \dots$
 - wobei alle $e_i < L$ genügen
 - Zeitbedarf erhöht sich nur bei Auslösung eines Arbeitsauftrags



Berechnung der Antwortzeit

- Antwortzeit ω_i der Aufgabe T_i berechnet sich zu:
$$\omega_i(t) = e_i + \sum_{k=1}^{i-1} \left\lceil \frac{t}{p_k} \right\rceil e_k; 0 < t \leq p_i$$
 - Aufgabe terminiert bevor das Ereignis (Periode) erneut eintritt
 - Setzt sich zusammen aus:
 - WCET e_i von T_i
 - WCETs e_1, \dots, e_{i-1} der Aufgaben T_1, \dots, T_{i-1} höherer Priorität
- Prüfung: $\omega_i(t) \leq t$
 - $t = jp_k; k = 1, 2, \dots, i; j = 1, 2, \dots, \lfloor \min(p_i, D_i)/p_k \rfloor$
 - Zeitbedarf erhöht sich nur bei Auslösung dringlicherer Aufgaben
 - Bis das Ereignis erneut eintritt/der Termin der Aufgabe erreicht ist
-  Ist die Ungleichung für **einen** Zeitpunkt t erfüllt, ist T_i **zulässig**



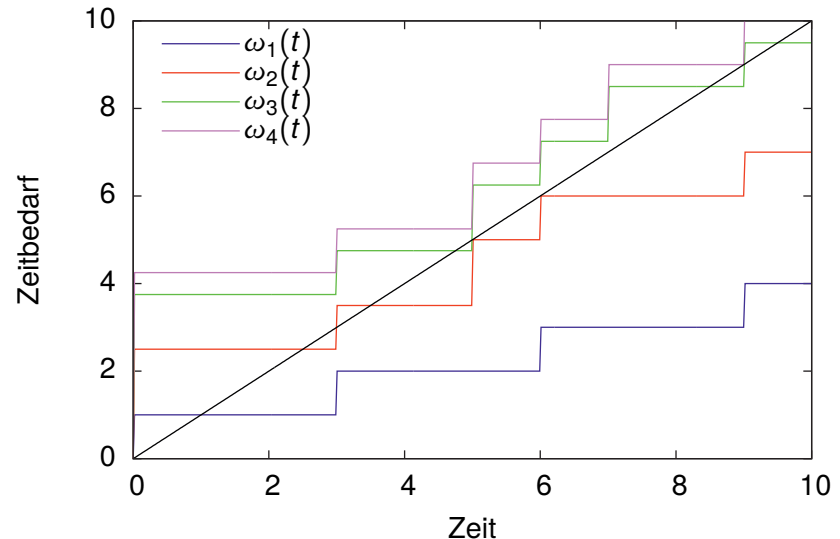
Beispiel: Berechnung der maximalen Antwortzeit

Aufgaben: $T_1 = (3, 1, 3, \phi_1)$, $T_2 = (5, 1.5, 5, \phi_2)$, $T_3 = (7, 1.25, 7, \phi_3)$, $T_4 = (9, 0.5, 9, \phi_4)$

- Antwortzeit ω_1 von T_1
 - $\omega_1(3) = 1 \leq 3 \rightsquigarrow$ zulässig
- Antwortzeit ω_2 von T_2
 - $\omega_2(3) = 1.5 + \lceil \frac{3}{3} \rceil 1 = 2.5 \leq 3 \rightsquigarrow$ zulässig
- Antwortzeit ω_3 von T_3
 - $\omega_3(3) = 1.25 + \lceil \frac{3}{3} \rceil 1 + \lceil \frac{3}{5} \rceil 1.5 = 3.75 > 3$
 - $\omega_3(5) = 1.25 + \lceil \frac{5}{3} \rceil 1 + \lceil \frac{5}{5} \rceil 1.5 = 4.75 \leq 5 \rightsquigarrow$ zulässig
- Antwortzeit ω_4 von T_4
 - $\omega_4(3) = 0.5 + \lceil \frac{3}{3} \rceil 1 + \lceil \frac{3}{7} \rceil 1.25 = 4.25 > 3$
 - $\omega_4(5) = 0.5 + \lceil \frac{5}{3} \rceil 1 + \lceil \frac{5}{7} \rceil 1.25 = 5.25 > 5$
 - $\omega_4(6) = 0.5 + \lceil \frac{6}{3} \rceil 1 + \lceil \frac{6}{7} \rceil 1.25 = 6.75 > 6$
 - $\omega_4(7) = 0.5 + \lceil \frac{7}{3} \rceil 1 + \lceil \frac{7}{7} \rceil 1.25 = 7.75 > 7$
 - $\omega_4(9) = 0.5 + \lceil \frac{9}{3} \rceil 1 + \lceil \frac{9}{7} \rceil 1.25 = 9.00 \leq 9 \rightsquigarrow$ zulässig



Zeitbedarfsfunktionen der Aufgaben T_1 , T_2 , T_3 und T_4



Wann wird die Antwortzeit maximal?

- ⚠ Kritischer Zeitpunkt (engl. *critical instant*) \rightarrow maximale Antwortzeit
 - \rightarrow Auslösung eines Arbeitsauftrags an seinem kritischen Zeitpunkt
- An seinem kritischen Zeitpunkt ausgelöster Job $J_{i,j}$ einer Task T_i :
 - \rightarrow Erfährt die maximale Antwortzeit aller Aufträge in T_i
 - Falls alle Arbeitsaufträge ihre Termine einhalten
 - \rightarrow Verpasst seinen Termin
 - Falls irgendein Arbeitsauftrag in T_i seinen Termin verpasst
- ☞ Kritischer Zeitpunkt in Systemen mit statischen Prioritäten [9]
 - \rightarrow Falls zusammen mit einem Arbeitsauftrag der Aufgabe T_i Aufträge aller Aufgaben höherer Priorität T_1, \dots, T_{i-1} ausgelöst werden
- ⚠ Kritischer Zeitpunkt in Systemen mit dynamischen Prioritäten
 - Lässt sich ein solcher kritischer Zeitpunkt nicht identifizieren
 - \rightarrow Antwortzeitanalyse ist hier ungeeignet



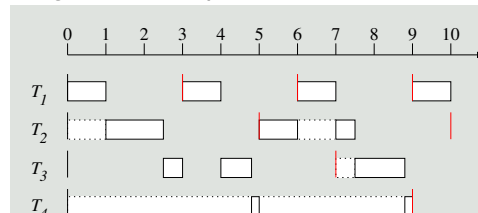
Simulation

- Vorteil Analysemethoden: komplex und schwer verständlich
 - Planungsalgorithmen: relativ einfach
 - Konstruktion eines Ablaufplans!

Voraussetzung Simulation muss den worst case treffen

Lösung Simulation muss am kritischen Zeitpunkt beginnen

Vergleiche Beispiel auf s. Folie IV-2/41



☞ Methode, die in vielen industriellen Werkzeugen vorzufinden ist

Relative Planbarkeit – Prioritätsabbildung

Einfluss der Anzahl von Systemprioritäten auf die Planbarkeit eines Systems

⚠ Verschlechterung der Planbarkeit bei wenigen verfügbaren Systemprioritäten ($\kappa_n >> \kappa_s$) zu erwarten

- Sei g das Minimum von Verhältniswerten des Prioritätsrasters (s. IV-2/12)
- Für RM für große n und $D_i = p_i$ für alle i wurde gezeigt [8], dass für die **planbare Auslastung** (engl. *schedulable utilization*) gilt:
$$\ln(2g) + 1 - g \text{ falls } g > 1/2$$
$$g \text{ falls } g \leq 1/2$$
- Das Verhältnis dieser Auslastung zu $\ln(2)$ ist ein Maß für die **relative Planbarkeit** des gegebenen Systems

■ **Beispiel:** 100 000 Tasks (evtl. noch vielmehr Jobs), d.h., $\kappa_n = 100\,000$

- Die relative Planbarkeit bei $\kappa_s = 256$ ist gleich 0.9986

☞ RM: Für komplexeste Tasksysteme reichen schon **256 Prioritätsebenen**



Resümee

Ablaufplanung gebräuchliche, ereignisgesteuerte Verfahren

- **statische Prioritäten** \leadsto RM, DM
 - Prioritätsabbildung im Falle nicht ausreichender Systemprioritäten
- **dynamische Prioritäten** \leadsto EDF

Optimalität und Nichtoptimalität von RM, DM und EDF

- Hängt von den Eigenschaften der betrachteten Aufgaben ab
- Nichtoptimalität von statischen Prioritäten und Ereignissteuerung

Planbarkeitsanalyse ereignisgesteuerter

Ablaufplanungsverfahren

- maximalen, kumulativen CPU-Auslastung und Antwortzeitanalyse
- relative Planbarkeit im Falle nicht ausreichender Systemprioritäten



Gliederung

1 Einplanung

- Gebräuchliche Verfahren
- Statische Prioritäten
- Prioritätsabbildung
- Dynamische Prioritäten

2 Optimalität

- RM, DM & EDF
- Ereignisgesteuerte Ablaufplanung

3 Planbarkeitsanalyse

- CPU-Auslastung
- Zeitbedarfsanalyse
- Antwortzeitanalyse
- Simulation
- Prioritätsabbildung

4 Zusammenfassung



Literaturverzeichnis

[1] Kapitel 28.

In: Baruah, S. ; Goossens, J. :
Scheduling Real-time Tasks: Algorithms and Complexity.
Chapman & Hall/CRC, 2004 (Computer and Information Science series)

[2] Baruah, S. K. ; Rosier, L. E. ; Howell, R. R. :

Algorithms and complexity concerning the preemptive scheduling of periodic, real-time tasks on one processor.
In: *Real-Time Systems Journal* 2 (1990), Nr. 4, S. 301–324.
<http://dx.doi.org/10.1007/BF01995675>. –
DOI 10.1007/BF01995675. –
ISSN 0922-6443

[3] Baruah, S. ; Mok, A. ; Rosier, L. :

Preemptively scheduling hard-real-time sporadic tasks on one processor.
(1990), Dez., S. 182–190.
<http://dx.doi.org/10.1109/REAL.1990.128746>. –
DOI 10.1109/REAL.1990.128746



- [4] Cai, Y. ; Kong, M. C.: Nonpreemptive Scheduling of Periodic Tasks in Uni- and Multiprocessor Systems. In: *Algorithmica* 15 (1996), Nr. 6, S. 572–599. <http://dx.doi.org/10.1007/BF01940882>. – DOI 10.1007/BF01940882. – ISSN 0178–4617
- [5] Coffman, E. G.: *Computer and Job-shop Scheduling Theory*. John Wiley & Sons Inc, 1976. – ISBN 978–0471163190
- [6] Hildebrand, D.: An Architectural Overview of QNX. In: *Proceedings of the USENIX Workshop on Microkernels and Other Kernel Architectures*. Seattle, WA, USA, Apr. 27–28, 1992, S. 113–126
- [7] IEEE Standard 802.5: *Token Ring Access Method and Physical Layer Specification*. IEEE, New York, 1989



- [12] Richard, P.: On the complexity of scheduling real-time tasks with self-suspensions on one processor. In: *Proceedings. 15th Euromicro Conference on Real-Time Systems (ECRTS 2003)* (2003), Jul., S. 187–194
- [13] Spuri, M.: *Earliest Deadline Scheduling in Real-Time Systems*, Scuola Superiore S. Anna, Pisa, Dissertation, 1996
- [14] Wind River Systems, Inc.: *Wind River Homepage*. <http://www.windriver.com>,



- [8] Lehoczky, J. P. ; Sha, L.: Performance of Real-Time Bus Scheduling Algorithms. In: *ACM Performance Evaluation Review* 14 (1986), Mai, Nr. 1, S. 44–55
- [9] Liu, C. L. ; Layland, J. W.: Scheduling Algorithms for Multiprogramming in a Hard-Real-Time Environment. In: *Journal of the ACM* 20 (1973), Nr. 1, S. 46–61. <http://dx.doi.org/http://doi.acm.org/10.1145/321738.321743>. – DOI <http://doi.acm.org/10.1145/321738.321743>. – ISSN 0004–5411
- [10] Liu, J. W. S.: *Real-Time Systems*. Englewood Cliffs, NJ, USA : Prentice Hall PTR, 2000. – ISBN 0–13–099651–3
- [11] Mok, A. K.: *Fundamental design problems of distributed systems for the hard real-time environment*, MIT, Diss., 1983



Typographische Konvention

Der erste Index gibt die Aufgabe an (z. B. D_i), der Zweite (optional) bezieht sich auf den Arbeitsauftrag (z. B. $d_{i,j}$). Exponenten zeigen verschiedene Varianten einer Eigenschaft an (z. B. T^{HI}, T^{MED}, T^{LO}). Funktionen beschreiben zeitlich variirende Eigenschaften (z. B. $P(t)$).

Temporale Eigenschaften

Allgemein

r_i Auslösezeitpunkt (engl. release time)

e_i Maximale Ausführungszeit (WCET)

D_i Relativer Termin (engl. deadline)

d_i Absoluter Termin

ω_i Antwortzeit (engl. response time)

Periodische Aufgaben

p_i Periode (engl. period)

ϕ_i Phase (engl. phase)

Strukturelemente

E_i Ereignis (engl. event)

R_i Ergebnis (engl. result)

T_i Aufgabe (engl. task)

$J_{i,j}$ Arbeitsauftrag (engl. job) der Aufgabe T_i

Aufgaben – Tupel

$T_p = (p, e, D, \phi)$ Periodische Aufgabe ohne Priorität (zeitgesteuert oder dynamische Taskpriorität)

